

## بررسی خصوصیات جریان‌های غلیظ در مخزن سد سفیدرود

یوسف رمضانی<sup>۱\*</sup>، مهدی قمشی<sup>۲</sup> و حسین خزیمه نژاد<sup>۳</sup>

تاریخ دریافت: ۹۲/۰۶/۳۱ تاریخ پذیرش: ۹۳/۰۳/۲۵

<sup>۱</sup>- استادیار، گروه مهندسی آب، دانشگاه بیرجند

<sup>۲</sup>- استاد، گروه سازه های آبی، دانشکده مهندسی علوم آب، دانشگاه شهید چمران اهواز

<sup>۳</sup>- استادیار، گروه مهندسی آب، دانشگاه بیرجند

\* مسئول مکاتبات، پست الکترونیکی: Email: y.ramezani@birjand.ac.ir

### چکیده

رسوبگذاری در مخازن سدها امری اجتناب ناپذیر است که جریان‌های غلیظ یکی از مهم‌ترین عوامل موثر توزیع رسوب در آن‌ها می‌باشد. شناختن خصوصیات جریان‌های غلیظ در یک سد می‌تواند کمک شایانی جهت مدیریت و خروج این جریان‌ها از مخزن سد باشد. سد سفیدرود در استان گیلان به عنوان یکی از سدهای مخزنی مهم کشور است که دارای مشکلات زیادی در زمینه رسوبگذاری و از دست رفتن حجم مخزن می‌باشد. در تحقیق حاضر، موقع جریان‌های غلیظ در سد سفیدرود و خصوصیات آن شامل سرعت پیشانی، عمق نقطه غوطه‌وری و فاصله آن از بدن سد در دبهای و ترازهای مختلف سطح آب مخزن، با استفاده از مدل TCM مورد تحلیل و ارزیابی قرار گرفته است. نتایج نشان می‌دهند، بسته به دبه جریان و تراز بهره‌برداری مخزن، عمق نقطه غوطه‌وری تغییراتی بین ۲/۲ تا ۸/۳ متر، محل تشکیل آن بین ۶ تا ۱۱ کیلومتری از سد و سرعت پیشانی جریان غلیظ تغییراتی تا ۴۸/۰ متر در ثانیه را نشان می‌دهد.

واژه‌های کلیدی: جریان‌های غلیظ، سرعت پیشانی جریان، سد سفیدرود، مدل TCM، نقطه غوطه‌وری

## Investigating Turbidity Currents Properties in Sefidroud Dam Reservoir

Y Ramezani<sup>1\*</sup>, M Ghomeshi<sup>2</sup> and H Khozeyme-Nejad<sup>3</sup>

Received: 22 September 2013 Accepted: 15 June 2014

<sup>1</sup>- Assist. Prof., Dept. of Water Engin., Univ. of Birjand, Iran

<sup>2</sup>- Prof., Dept. of Hydraulic Structures, Faculty of Water Sci. Engin., Shahid Chamran Univ. of Ahvaz, Iran

<sup>3</sup>- Assist. Prof., Dept. of Water Engin., Univ. of Birjand, Iran

\*Corresponding author, Email: y.ramezani@birjand.ac.ir

### Abstract

Sediment deposition in reservoirs is inevitable and the turbidity current is one of the most important factors that affects sediment distribution in reservoirs. Knowledge about the turbidity currents properties can help to manage and release these currents from dam reservoirs. The Sefidroud dam reservoir has many problems on water storage due to sediment deposition. In this study, the properties of these currents including head velocity, plunge point depth and its distance from the dam are simulated by TCM model, in different discharges and water elevations of the Sefidroud reservoir. The results show, depending on the discharge and water elevation, plunge point depth changes from 2.2 to 8.3 m, its distance is between 6-11 km from the dam structure and the head velocity variation is up to 0.48 m/sec.

**Keywords:** Head velocity, Plunge point, Sefidroud dam, TCM model, Turbidity current

### مقدمه

همان گونه که در شکل ۱ نشان داده شده است، یک جریان غلیظ در مخزن، دارای چهار منطقه می‌باشد: منطقه اول؛ قسمت ورودی جریان با چگالی همگن نامیده شده که منطقه قبل از تداخل با آب مخزن می‌باشد. منطقه دوم که ناحیه غوطه‌وری نامیده می‌شود؛ در یک نقطه از جریان بنام نقطه غوطه‌وری<sup>۱</sup>، اندازه حرکت جریان ورودی با نیروی فشاری ناشی از اختلاف چگالی جریان ورودی و آب درون مخزن به تعادل رسیده و جریان غلیظ زیر لایه ساکن، شروع به حرکت می‌نماید. منطقه سوم؛ بدنه جریان می‌باشد که به فاصله بین نقطه غوطه‌وری و پیشانی جریان اطلاق می‌گردد. منطقه چهارم؛ قسمت گرزی شکل جلوی جریان است،

سدسازی از جمله پروژه‌های بسیار پر هزینه می‌باشد که مسئله رسویگذاری در مخزن سد مهمترین عامل محدودکننده عمر مفید آن به شمار می‌آید. یکی از عوامل بسیار مهم در رسویگذاری مخازن و نحوه توزیع رسوبات، پدیده جریان غلیظ<sup>۱</sup> می‌باشد. گراف (۱۹۷۱) وجود اختلاف در یکی از عوامل دما، غلظت مواد محلول و غلظت مواد معلق را عامل ایجاد اختلاف در مقدار جرم مخصوص ذکر نموده است. در مخازن سدها، علت ایجاد جریان غلیظ، اختلاف میان جرم حجمی آب زلال درون مخزن و آب گل آسود حاوی رسوبات معلق ورودی به مخزن، به خصوص در هنگام سیلاب می‌باشد.

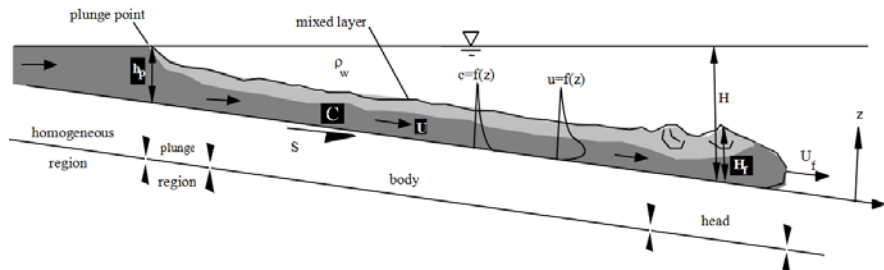
<sup>2</sup> Plunge point

<sup>1</sup> Turbidity current

هدایت به موقع آنها از تخلیه کننده‌های تحتانی سد، می‌تواند مقدار رسوگذاری در مخزن به ویژه در قسمت‌های عمیق را کاهش دهد.

که پیشانی جریان نامیده شده و مهمترین قسمت جریان غلیظ به حساب می‌آید.

از آنجایی که این جریان‌ها در ابتدای مخزن سد تشکیل شده و تا مجاورت سد حرکت می‌نمایند، لذا



شکل ۱ - ترکیب فیزیکی یک جریان غلیظ (قمشی، ۱۹۹۵).

طراحی نیز در این تحقیق پیشنهاد شده است. ترابی پوده و همکاران (۱۳۸۷) تغییرات سرعت پیشانی جریان غلیظ در همگرایی‌ها و واگرایی‌ها و نیز مقایسه آن با مقاطع ثابت را مورد مطالعه قرار دادند و نتایج نشان دادند سرعت بی بعد پیشانی جریان غلیظ در واگرایی‌ها بیشتر و همگرایی‌ها کمتر از مقاطع ثابت می‌باشد. وانگ و هو (۲۰۰۹) به بررسی راهبردهای مختلف مدیریت رسوپ مخازن در کشور چین پرداختند. آنها به این نتیجه رسیدند که رسوپ زدایی آزاد باعث تنفس‌های بوم زیستی زیاد به زیست بوم پایین‌دست مخزن سد می‌شود. آنها ذخیره آب صاف و رهاسازی جریان غلیظ را به عنوان بهترین راهکار برای کنترل رسوپ در مخازن پیشنهاد نمودند. این روش دارای مزیت استفاده از انرژی برقراری بوده و ثبات زیست‌بوم را مورد توجه قرار می‌دهد. سکوییرس و همکاران (۲۰۰۹) به بررسی مدیریت رسوپ با استفاده از جت و جریان غلیظ در مخزن سدی در شیکاگو پرداختند. آنها در این مطالعه به تعیین امکان سنجی فرسایش پذیری رسوپات ریزدانه بستر به وسیله جت و انتقال آن توسط جریان غلیظ پرداختند. یک مدل عددی واسنجی شده برای مطالعه ظرفیت انتقال جریان در شرایط صحرایی به کار گرفته شد. نتایج نشان دادند مقادیر زیادی از رسوپ در نزدیکی ناحیه تخلیه جت می‌تواند فرسایش یافته و قسمتی از رسوپ فرسایش یافته می‌تواند توسط جریان

با توجه به اهمیت موضوع، مطالعات گسترشده‌ای در زمینه جریان‌های غلیظ صورت گرفته است. محمد نژاد و شمسایی (۱۳۸۲) یک مدل عددی دو بعدی حجم محدود برای جریان‌های غلیظ غیر دائمی را در مخازن سدها توسعه داده و نقش آن را در رسوگذاری دریاچه پشت سدها بررسی نمودند. نتایج نشان دادند که عمق جریان غلیظ پس از ورود به مخزن افزایش یافته و سرعت آن کم می‌گردد. این کاهش سرعت باعث ته نشینی رسوپات در طول مسیر جریان غلیظ در داخل مخزن می‌شود. بصیرزاده و صمدی بروجنی (۱۳۸۲) به امکان سنجی هدایت جریان‌های غلیظ مخزن سد دز به سمت مجاری سرریز با استفاده از شافت قائم مستغرق پرداخته و پیش‌بینی کردند با این روش راندمان تله اندازی مخزن از حدود ۱۰۰ درصد به ۶۴ درصد بررسد. محمودیان شوشتاری و همکاران (۱۳۸۴) به بررسی آزمایشگاهی کشنش آب ساکن در جریان‌های غلیظ پرداختند و نشان دادند گرچه شدت اختلاط با افزایش شبیه افزایش می‌یابد، اما این روند افزایشی در شبیه‌های زیاد متوقف خواهد شد. اویهی و شلیس (۲۰۰۷) به بررسی کنترل جریان غلیظ توسط موانع نفوذپذیر و صلب در مخازن سدها به وسیله شبیه‌سازی عددی و مشاهدات آزمایشگاهی پرداختند. نتایج نشان دادند طراحی مناسب موانع می‌تواند جریان غلیظ را به میزان زیادی تحت تأثیر قرار دهد. برخی توصیه‌های

## مواد و روش‌ها

### معرفی مدل TCM

مدل رایانه‌ای TCM نسخه توسعه یافته DEPO می‌باشد که توسط قمشی (۱۹۹۵) تهیه گردیده است. این مدل توانایی پیش‌بینی بلند مدت رسوبگذاری در مخازن، سدها همراه با در نظر گرفتن وقوع پدیده جریان غلیظ، به صورت یک بعدی را داشته و همچنین قادر به تحلیل حرکت جریان آب و رسوب در مجاری روبرو باشد. از دیگر خصوصیات این مدل توزیع رسوبات در هر مقطع به صورت شبه دو بعدی و متناسب با عمق جریان می‌باشد. لحاظ اثرات رسوبات چسبنده و همچنین پدیده زرهی شدن بستر<sup>۱</sup> در روند فرسایش و رسوبگذاری از دیگر مزایای این مدل می‌باشد.

با قبول اختلاف در شدت تغییر ترازهای آب و بستر، مدل در ابتدا معادلات مربوط به جریان آب در مخزن را حل نموده و پس از محاسبه مشخصات هیدرولیکی جریان، فرایند رسوبگذاری در مخزن را با در نظر رفتن یک حجم کنترل برای هر مقطع و حل مکرر معادلات انتقال رسوب و جریان غلیظ، شبیه‌سازی می‌نماید. جریان درون مخزن به صورت ماندگار، غیریکنواخت و یک بعدی در نظر گرفته شده است. شرط لازم جهت بررسی جریان‌های غلیظ و روندیابی آن توسط مدل، غوطه‌وری جریان ورودی و تشکیل نقطه غوطه‌وری در بالادست مخزن می‌باشد. بنابراین مدل با استفاده از روابط آکیاما و استفان (۱۹۸۵)، عمق غوطه-وری جریان را برای دبهای مختلف ورودی و کلیه مقاطع از بالادست به پائین دست کنترل می‌نماید.

در صورت تشخیص محل تشکیل جریان غلیظ، مراحل روندیابی آن شامل محاسبه عمق، سرعت و دبی حجمی آن برای کلیه مقاطع بین محل تشکیل تا دیواره سد انجام می‌شود. روش بکار رفته در مدل، دستگاه معادلات سه کانه ارائه شده توسط فوکوشیما و همکاران (۱۹۸۵) می‌باشد که توسط گارسیا (۱۹۹۴) تکمیل و ارائه گردیده است.

مدل، معادلات دیفرانسیل جزئی جریان غلیظ را

غلیظ به پایین دست انتقال یابد. ظرفیت انتقال جریان کاملاً وابسته به شرایط اولیه جت تخلیه شده دارد. آن و لی (۲۰۱۰) به بررسی خصوصیات نقطه غوطه‌وری در یک جریان غلیظ پرداختند. آنها از یک مدل دو بعدی صحبت سنگی شده جریان غلیظ استفاده نمودند. به منظور واسنجی مدل ارائه شده، آزمایشاتی در یک مدل آزمایشگاهی انجام گرفت. عدد رینولدز، غلظت رسوب و عدد فرود جرمی به عنوان پارامترهای مورد نظر برای تحلیل شرایط وقوع نقطه غوطه‌وری مورد استفاده قرار گرفتند. جورجو لاس و همکاران (۲۰۱۰) مدل عددی سه بعدی جریان غلیظ را ارائه کردند. آنها دینامیک و ساختار جریان غلیظ را به وسیله فرض یک جریان چند فازی و برنامه‌نویسی در مدل FLUENT شبیه‌سازی نمودند که توافق خوبی بین مشاهدات کمی و کیفی یک جریان غلیظ در مدل عددی و مدل آزمایشگاهی مشاهده شد.

سد مخزنی سفیدرود از نوع بتی وزنی پایه دار، به ارتفاع ۱۰۶ متر و طول تاج ۴۲۵ متر می‌باشد و در محل تلاقی دو رودخانه قزل اوزن و شاهروд قرار گرفته است. این سد، تنها سد مخزنی استان گیلان بوده و نقش بسیار مهمی در تأمین آب و کنترل سیلاب‌های محرب منطقه ایفا می‌کند. مطالعات فرسایش و رسوبگذاری انجام شده در مورد حوضه آبریز سد سفیدرود بیانگر ظرفیت بالای رسوبزائی این حوضه می‌باشد. در سد سفیدرود تاکنون مطالعه‌ای در خصوص بررسی خصوصیات جریان‌های غلیظ انجام نشده است. با توجه به اهمیت سد و نظر به اینکه مخزن سد در مرحله بهره‌برداری می‌باشد، انجام این مطالعات و بررسی خصوصیات جریان‌های غلیظ در این سد امری ضروری به نظر می‌رسد. در سد سفیدرود با آورد سالانه ۴/۵ میلیارد متر مکعب آب، ۴۳ میلیون تن رسوب وارد مخزن می‌شود. از این مقدار ۲۵ میلیون تن از شاخه قزل اوزن، ۶ میلیون تن از شاخه شاهرود و ۲ میلیون تن از رودخانه‌های فرعی می‌باشد (رمضانی، ۱۳۸۷). با توجه به اهمیت بسیار بیشتر شاخه قزل اوزن، خصوصیات جریان‌های غلیظ در این شاخه

آن سد سفیدرود مورد بررسی و تحلیل قرار می‌گیرد.

<sup>۱</sup> Bed armoring

قزل اوزن از دو نقشه هیدروگرافی سال ۱۳۸۳ و ۱۳۸۵ استفاده شده است. مقاطع عرضی با استفاده از نرم افزار Arc GIS، استخراج و به مدل معرفی شد. تعداد ۶۱ مقطع از شاخه قزل اوزن تهیه گردید. مقاطع به فاصله ۲۵۰ متر از یکیگر می‌باشند. طول دریاچه سد در شاخه قزل اوزن ۲۳ کیلومتر می‌باشد. ضرایب تنگ شدگی و باز شدگی  $0/0$  و  $0/3$  برای مقاطع معمولی و  $0/6$  برای بازشدگی‌های ناگهانی در نظر گرفته شد.

رابطه دبی آب – دبی بار معلق رودخانه قزل اوزن (ایستگاه گیلوان) با استفاده از نرم افزار spss محاسبه گردید. نرم افزار spss قادر به محاسبه همبستگی توانی داده‌ها به صورت غیرخطی می‌باشد. این رابطه برای ایستگاه گیلوان<sup>۱۵۴</sup>  $Q_w = 19 Q_s^{0.54}$  بدست آمد. در این رابطه،  $Q_w$  دبی جریان بر حسب  $m^3/s$  و  $Q_s$  دبی رسوب معلق بر حسب ton/day می‌باشد. با توجه به مطالعات انجام شده در بخش رسوب سد، نسبت بار بسترهای بار معلق در ایستگاه معادل  $20$  درصد در نظر گرفته شد (رمضانی، ۱۳۸۷). پس از اعمال این ضریب و اضافه نمودن آن به دبی بار معلق، رابطه دبی آب – دبی رسوب بدست آمد. پس از نمونه‌برداری از ایستگاه گیلوان، دانه‌بندی بار معلق با استفاده از دستگاه تفکیک لیزری انجام شد. اصول کار این دستگاه، بر اساس سنجش میزان پخشیدگی اشعه‌های لیزر در برخورد با ذرات رسوب معلق درون آب می‌باشد. بار بسترهای ایستگاه گیلوان برداشت نمی‌شود. به همین منظور برای دانه‌بندی بار بسترهای ایستگاه ریزدانه مواد بسته ایستگاه گیلوان برداشت نمی‌شود. به آنها نمونه‌برداری، از دانه‌بندی رسوبات ریزدانه مواد بسته ایستگاه استفاده گردید. مدل TCM قادر به پذیرش دانه‌بندی مواد بسترهای تمامی مقاطع می‌باشد. پس از نمونه‌برداری از ایستگاه، دانه‌بندی مواد بسترهای بوسیله الک در آزمایشگاه مکانیک خاک انجام شد. برای دانه‌بندی مواد بسترهای مخزن نیز از نتایج موجود (۳ مقطع در شاخه قزل اوزن) استفاده گردید. در جدول ۱ درصد هر دسته از ذرات رسوبی معرفی شده به مدل TCM نشان داده شده است. مقطع ۳ نزدیکترین مقطع به دیواره سد می‌باشد.

به روش تفاضل محدود رانگ-کوتا مرتبه چهارم<sup>۱</sup> حل نموده و برای محاسبه نیمرخ‌های سطح آب از روش گام به گام استاندارد استفاده می‌نمایید.

نحوه توزیع رسوبات در هر مقطع به روش توزیع نسبی می‌باشد. در این روش، تغییرات بسترهای نقاط سطح مقطع که زیر سطح آب قرار می‌گیرند را در بر می‌گیرد و مقدار تغییر در هر نقطه به ارتقای آب روی آن یا عمق جریان بستگی خواهد داشت. معادله‌ای که بدین منظور در مدل مورد استفاده قرار گرفته، به صورت زیر می‌باشد:

$$\Delta h_l = \Delta h_{nw} \cdot \left[ \frac{y_l}{y_{nw}} \right]^{(1+m)} \quad [1]$$

که در این رابطه،  $\Delta h_l$  میزان تغییرات نهشته در هر نقطه از سطح مقطع،  $\Delta h_{nw}$  میزان تغییرات نهشته در خط القعر مقطع جریان،  $y_l$  ارتفاع آب روی نقطه مورد نظر،  $y_{nw}$  عمق آب ورودی نقطه خط القعر و  $m$  توان منحنی توزیع رسوب می‌باشد که نحوه توزیع رسوبات در بعد عرضی (دیواره‌ها و خط القعر) را نشان می‌دهد و می‌توان مقداری بین صفر تا یک برای آن در نظر گرفت. مقدار  $m=0$  وزن بیشتری به توزیع رسوبات در دیواره‌ها می‌دهد در حالی که  $m=1$  وزن بیشتری به توزیع رسوبات در خط القعر می‌دهد.

مدل TCM در مورد شبیه‌سازی جریان غلیظ در سدهایی نظیر دز، کرخه، کارون ۱ و مارون بکار رفته است (رمضانی، ۱۳۸۷).

**جمع‌آوری و آماده‌سازی اطلاعات مورد نیاز شبیه‌سازی جریان غلیظ در مخازن با استفاده از مدل‌های ریاضی نیاز به اطلاعات زیادی دارد که دقت نتایج بدست آمده بستگی زیادی به آنها خواهد داشت. در این تحقیق از اطلاعات و آمار ایستگاه گیلوان (در شاخه قزل اوزن و ۲۵ کیلومتری از سد) استفاده شد. با توجه به نقصان اطلاعات در برخی موارد، نمونه‌برداری و اندازه‌گیری‌های صحراوی به عمل آمد. برای تهیه مقاطع عرضی سد سفیدرود در شاخه**

جدول ۱- درصد هر دسته از ذرات رسوبی معرفی شده به مدل TCM.

نوع رسوب	قطر ذرات (mm)	ایستگاه (مواد بستر)	قطع ۲ (مواد بستر)	قطع ۱۳ (مواد بستر)	قطع ۲۶ (مواد بستر)	بار معلق	بار بستر
رس	۰/۰۰۲-۰/۰۰۴	.	۵۰	۴۲	۱۰	۴۱	۰
سیلت خیلی ریز	۰/۰۰۴-۰/۰۰۸	.	۲۱	۱۵	۴	۲۲	۰
سیلت ریز	۰/۰۰۸-۰/۰۱۶	.	۱۶	۱۳	۲۶	۱۹	۰
سیلت متوسط	۰/۰۱۶-۰/۰۲۲	.	۶	۲۰	۴۱	۱۱	۰
سیلت درشت	۰/۰۳۲-۰/۰۶۲۵	۳	۷	۱۰	۱۹	۶	۴
ماسه خیلی ریز	۰/۰۶۲۵-۰/۱۲۵	۱۲	.	.	.	.	۱۸
ماسه ریز	۰/۱۲۵-۰/۲۵	۶۰	.	.	.	.	۷۸
ماسه متوسط	۰/۲۵-۰/۵	۲۴	.	.	.	.	۰
ماسه درشت	۰/۵-۱	.	.	.	.	.	۰

می باشند. بنابراین هر یک از فاکتورهای فوق الذکر، در دبی های مختلف و سه رقمم بهره برداری ۲۴۰، ۲۵۰ و ۲۶۰ متر سد سفیدرود مورد ارزیابی قرار گرفته اند. لازم به ذکر است رقمم تاج سد ۲۷۷ متر می باشد.

#### امکان تشکیل جریان های غلیظ

هر چه احتمال تشکیل این جریان ها بیشتر باشد، به دلیل قابلیت انتقال رسوبات به طرف بدنه سد، میزان تأثیرگذاری آن ها بیشتر خواهد بود. به دلیل وجود مجموعه شرایط مساعد تشکیل جریان های غلیظ در مخزن سد سفیدرود، احتمال وقوع آن ها را حتی برای دبی های کم، بالا برده است. غلظت مواد معلق و درصد رس رسوبات ورودی، هندسه مخزن و رقمم سطح آب مخزن از جمله عوامل مهم در تشکیل جریان های غلیظ می باشند. براساس نتایج حاصله از اجرای مدل در دوره های زمانی، جریان های غلیظ در دبی های کم نیز تشکیل شده اند.

#### محل تشکیل نقطه غوطه وری

نقطه غوطه وری جریان غلیظ، محل جداسازی جریان گل آسود ورودی از آب صاف درون مخزن می باشد. محل تشکیل نقطه غوطه وری بستگی کامل به عمق آب، دبی جریان ورودی و غلظت رسوبات و همچنین خصوصیات هندسی مخزن همانند شیب بستر دارد.

#### واسنجی مدل

واسنجی مدل بر اساس تغییرات ضربی مانینگ و معادلات انتقال رسوب و توان منحنی توزیع رسوب (m) با استفاده از دو مقطع اندازه گیری شده در سال های ۱۳۸۳ و ۱۳۸۵ صورت پذیرفت. لازم به ذکر است در بازه سال های مذکور، هیچ گونه عملیات رسوب شویی از مخزن سد انجام نشده و تمامی رسوبات در مخزن تهشین شده اند. برای شاخه قزل اوزن ضربی مانینگ  $m=0/۷$ ، معادله انتقال رسوب یانگ و مقدار  $m=0/۲۳$  برای توان منحنی توزیع رسوب بدست آمد. مقادیر ضرایب مانینگ واسنجی شده بر اساس سعی و خطای ضربی مانینگ و بدست آوردن ارتفاع آب در مدل و مقایسه آن با ارتفاع آب مشاهداتی در ایستگاه گیلان با استفاده از روابط دبی - اشل صورت پذیرفت.

#### نتایج و بحث

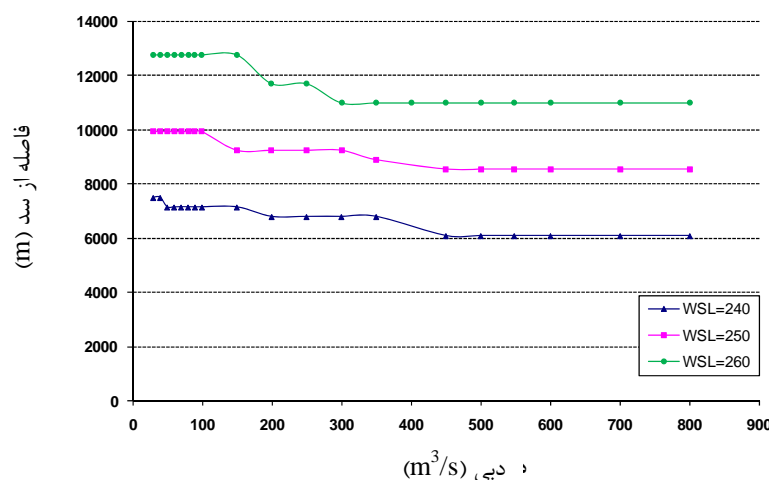
از جمله مشخصه های مهم یک جریان غلیظ عمق نقطه غوطه وری، محل تشکیل آن در مخزن و همچنین سرعت پیشانی جریان غلیظ می باشد. مقادیر هر یک از این پارامترها برای هر دبی ورودی به مخزن سد، در صورت تشکیل جریان غلیظ، توسط مدل TCM محاسبه گردیده و در خروجی مدل ثبت می گردد. رقمم سطح آب در مخزن (رقوم بهره برداری) و دبی جریان عامل مشترک و بسیار مؤثر در خصوصیات جریان غلیظ

نقطه غوطه‌وری در ۷/۶ کیلومتری از سد می‌باشد که با افزایش دبی به ۸۰۰ متر مکعب در ثانیه، فاصله محل تشکیل نقطه غوطه‌وری به ۶ کیلومتری از سد کاهش می‌یابد.

برای رقوم بهره‌برداری ۲۵۰ مخزن سد، در دبی ۲۰ متر مکعب در ثانیه، محل تشکیل نقطه غوطه‌وری در ۹/۹ کیلومتری از سد می‌باشد که با افزایش دبی به ۸۰۰ متر مکعب در ثانیه، فاصله محل تشکیل نقطه غوطه‌وری به ۸/۴ کیلومتری از سد کاهش می‌یابد.

نتایج حاصل از اجرای مدل به صورت نموداری برای رقوم‌های مختلف سطح آب در شکل ۲ ارائه شده است. این نمودار بیانگر تغییرات فاصله تشکیل نقطه غوطه‌وری تا دیواره سد نسبت به دبی برای رقوم‌های مختلف سطح آب می‌باشد.

به طور کلی در یک رقوم مشخص بهره‌برداری، با افزایش دبی، محل تشکیل نقطه غوطه‌وری به سمت سد پیشروی می‌نماید. برای رقوم بهره‌برداری ۲۴۰ مخزن سد، در دبی ۲۰ متر مکعب در ثانیه، محل تشکیل



شکل ۲ - محل تشکیل نقطه غوطه‌وری در سه رقوم مختلف سطح آب مخزن سد سفیدرود.

دبی‌های بیشتر از ۳۰۰ متر مکعب در ثانیه، محل تشکیل نقطه غوطه‌وری در ۱۱ کیلومتری از سد ثابت می‌باشد. در یک دبی ثابت، کاهش رقوم بهره‌برداری در مخزن موجب انتقال محل تشکیل نقطه غوطه‌وری به سمت سد می‌شود. در دبی ۸۰۰ متر مکعب در ثانیه، برای رقوم بهره‌برداری ۲۶۰ مخزن سد، محل تشکیل نقطه غوطه‌وری در ۱۱ کیلومتری از سد می‌باشد که با کاهش رقوم بهره‌برداری به ۲۵۰ و ۲۴۰، این فاصله به ۸/۴ و ۶ کیلومتری از سد کاهش می‌یابد.

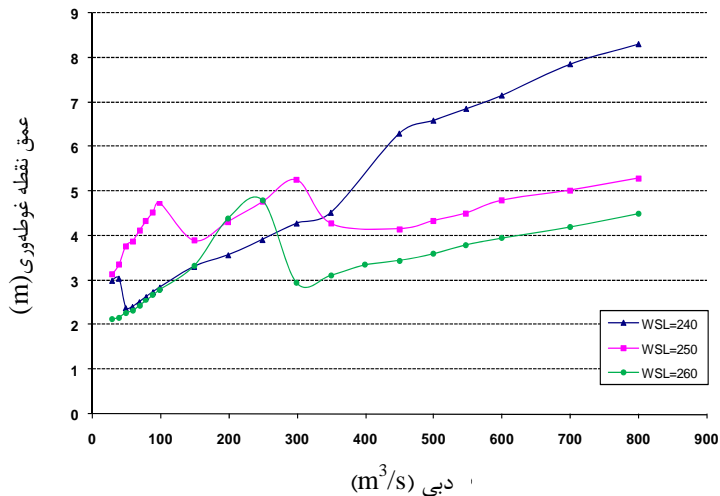
**عمق تشکیل نقطه غوطه‌وری**  
نقطه غوطه‌وری جریان غلیظ، محل جداسازی جریان گل‌آلود ورودی از آب صاف درون مخزن می‌باشد. عمق تشکیل نقطه غوطه‌وری بستگی به دبی

همچنین، برای رقوم بهره‌برداری ۲۶۰ مخزن سد، در دبی ۲۰ متر مکعب در ثانیه، محل تشکیل نقطه غوطه‌وری در ۱۲/۸ کیلومتری از سد می‌باشد که با افزایش دبی به ۸۰۰ متر مکعب در ثانیه، فاصله محل تشکیل نقطه غوطه‌وری به ۱۱ کیلومتری از سد کاهش می‌یابد.

در یک رقوم بهره‌برداری ثابت و در دبی‌های زیاد، محل تشکیل نقطه غوطه‌وری تغییر چندانی پیدا نمی‌کند. برای رقوم بهره‌برداری ۲۴۰ مخزن سد، برای دبی‌های بیشتر از ۴۵۰ متر مکعب در ثانیه، محل تشکیل نقطه غوطه‌وری در ۶ کیلومتری از سد ثابت می‌باشد. برای رقوم بهره‌برداری ۲۵۰ مخزن سد، برای دبی‌های بیشتر از ۴۵۰ متر مکعب در ثانیه، محل تشکیل نقطه غوطه‌وری در ۸/۴ کیلومتری از سد ثابت می‌باشد. همچنین، برای رقوم بهره‌برداری ۲۶۰ مخزن سد، برای

غوطه‌وری نسبت به دبی در رقوم‌های مختلف سطح آب می‌باشد.

جريان و غلظت رسوبات ورودی و همچنین مشخصات ژئومتری و هیدرولیکی مقطع محل تشکیل نقطه غوطه-وری خواهد داشت. شکل ۳ بیانگر تغییرات عمق نقطه



شکل ۳ - عمق نقطه غوطه‌وری در سه رقوم مختلف سطح آب مخزن سد سفیدرود.

طور کلی تغییر شرایط هیدرولیکی جريان در محل تشکیل نقطه غوطه‌وری می‌باشد.

#### سرعت حرکت پیشانی جريان غلیظ

يکی از عوامل بسیار مهم در میزان انتقال رسوبات توسط جريان‌های غلیظ، سرعت پیشانی جريان غلیظ در محل تشکیل می‌باشد. اين عامل خود به عمق و محل تشکیل نقطه غوطه‌وری و همچنین مشخصات ژئومتری و هیدرولیکی مخزن بستگی دارد. شکل ۴ نشان دهنده تغییرات سرعت پیشانی جريان نسبت به دبی در رقوم‌های مختلف سطح آب می‌باشد. بطور کلی، افزایش دبی ورودی، موجب بالا رفتن سرعت پیشانی جريان غلیظ خواهد شد.

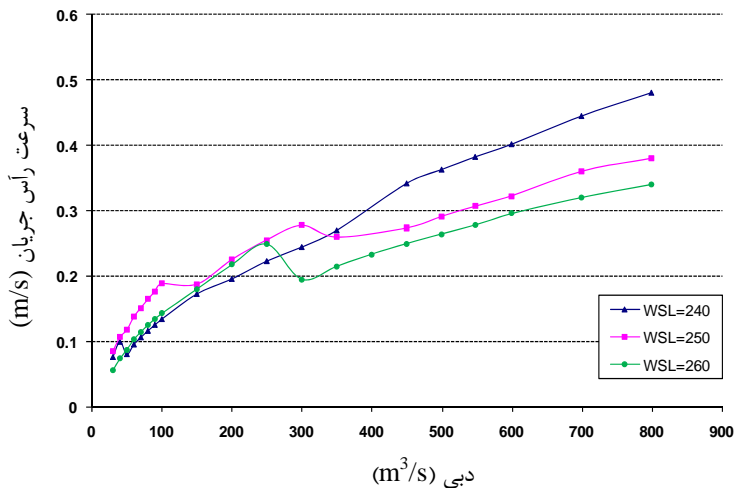
يکی از علل اين موضوع افزایش غلظت رسوبات در اثر افزایش دبی و در نتيجه بالا رفتن چگالی جريان غلیظ می‌باشد که موجب افزایش سرعت می‌گردد. البته تغییر خصوصیات هیدرولیکی جريان همانند عمق و سرعت آب نیز مؤثر خواهد بود. برای رقوم بهره‌برداری ۲۴۰ مخزن سد، با افزایش دبی از ۳۵۰ متر مکعب در ثانية، سرعت پیشانی جريان غلیظ از ۰/۲۷ متر در ثانية

به طور کلی در يك رقوم بهره‌برداری مشخص، افزایش دبی باعث افزایش عمق نقطه غوطه‌وری خواهد شد. برای رقوم بهره‌برداری ۲۴۰ مخزن سد، با افزایش دبی از ۴۵۰ متر مکعب در ثانية به ۸۰۰ متر مکعب در ثانية، عمق نقطه غوطه‌وری از  $8/3$  متر به  $5/2$  متر افزایش می‌يابد. برای رقوم بهره‌برداری ۲۵۰ مخزن سد، با افزایش دبی از ۴۵۰ متر مکعب در ثانية به ۸۰۰ متر مکعب در ثانية، عمق نقطه غوطه‌وری از  $4/1$  متر به  $5/2$  متر افزایش می‌يابد. برای رقوم بهره‌برداری ۲۶۰ مخزن سد، با افزایش دبی از ۴۵۰ متر مکعب در ثانية به ۸۰۰ متر مکعب در ثانية، عمق نقطه غوطه‌وری از  $3/4$  متر به  $4/5$  متر افزایش می‌يابد. در يك دبی ثابت (به جز دبی‌های کم)، با افزایش سطح آب مخزن عمق نقطه غوطه‌وری کاهش خواهد یافت. در دبی ۸۰۰ متر مکعب در ثانية، با افزایش رقوم بهره‌برداری مخزن سد از ۲۴۰ به ۲۵۰ و ۲۶۰، عمق نقطه غوطه‌وری از  $8/3$  متر به  $5/2$  و  $4/5$  متر کاهش خواهد یافت.

وجود پرش‌های ناگهانی در کاهش یا افزایش ارتفاع تشکیل غوطه‌وری، به دلیل تغییرات عمق آب و به

پیشانی جریان غلیظ از  $0/48\text{ m}$  در ثانیه به  $0/38\text{ m}$  و  $0/34\text{ m}$  در ثانیه کاهش خواهد یافت. اما در دبی‌های کمتر، اثرات رقوم بهره‌برداری در مخزن تحت تأثیر عوامل دیگر از جمله خصوصیات هندسی مقطع محل تشکیل قرار گرفته و نتیجه مقاومت خواهد بود.

افزایش می‌یابد. به طور کلی با افزایش رقوم بهره‌برداری در مخزن، بدليل افزایش سطح مقطع جریان، کاهش سرعت پیشانی جریان غلیظ را به همراه دارد. این موضوع در دبی‌های زیاد مشاهده می‌گردد. در دبی  $800\text{ m}$  مکعب در ثانیه، با افزایش رقوم بهره‌برداری مخزن سد از  $240$  به  $250$  و  $260$ ، سرعت



شکل ۴ - سرعت پیشانی جریان غلیظ در سه رقوم مختلف سطح آب مخزن سد سفیدرود.

به بدن سد در دبی‌های سیلابی و ترازهای مختلف سطح آب مخزن محاسبه و با باز کردن به موقع دریچه‌های تحتانی می‌توان مانع از تهشیینی رسوبات در مخزن گردید. بهترین شرایط حالتی است که جریان غلیظ در مناطق ابتدایی مخزن با غلظت زیاد تشکیل و با سرعت پیشانی زیاد و عمق کم طی کمترین زمان در طول مخزن حرکت کرده و به سمت دریچه‌های تحتانی ادامه مسیر دهد. با توجه به اینکه قسمت اعظم رسوبات وارد شده به سدها در دبی‌های سیلابی اتفاق می‌افتد، می‌توان با خروج به موقع جریان‌های غلیظ ایجاد شده در اثر آنها، گامی موثر در حفظ ظرفیت مخزن سد برداشت. حالت بهینه شرایطی است که تا حد امکان اجازه خروج رسوبات به همراه سیلاب‌ها را بدهد و در عین حال حجم ذخیره مخزن قادر به تأمین آب مورد نیاز در بدترین شرایط سال را داشته باشد. تهیه این برنامه بهره‌برداری بهینه مخزن، نیازمند انجام مطالعات دقیق برنامه‌ریزی منابع آب به همراه مطالعات رسوب با

خصوصیات ژئومتری مقطع محل تشکیل جریان غلیظ شامل شبکه کف، سطح مقطع جریان و همچنین نحوه توزیع رسوبات از عوامل مؤثر در تغییرات ناگهانی سرعت پیشانی جریان غلیظ می‌باشند.

#### نتیجه‌گیری کلی

به طور کلی در سد سفیدرود جریان غلیظ در دبی‌های نسبتاً کم هم شکل می‌گیرد که اهمیت توجه به این جریان‌ها را در این سد مشخص می‌نماید. در مدیریت مخزن سد سفیدرود به خوبی می‌توان از مشخصات جریان غلیظ استفاده نمود. بدین ترتیب که با داشتن دبی سیلاب عبوری از ایستگاه هیدرومتری بالادست سد و تراز سطح آب مخزن و با توجه به نمودارهای ارائه شده، فاصله نقطه غوطه‌وری جریان از سد و سرعت پیشانی آن را بدست آورده و با داشتن این دو پارامتر، زمان رسیدن جریان غلیظ به بدن سد را محاسبه نمود. با این روش، زمان رسیدن جریان غلیظ

روش، برخلاف عملیات شاس (رسوب زدایی آزاد) که تاکنون برای رسوبزدایی در مخزن این سد مورد استفاده قرار گرفته است، ملاحظات اینمی سد را در نظر گرفته و امکان استفاده از انرژی برق‌آبی را دارا بوده و همچنین اثر مخربی بر محیط زیست پایین دست خود ندارد.

در نظر گرفتن مدیریت جریان‌های غلیظ و نحوه مانور دریچه‌های تخلیه کننده تحتانی سد می‌باشد. با توجه به هزینه‌های بسیار بالای رسوبزدایی مخازن، استفاده از این پدیده به عنوان آسان‌ترین و کم هزینه‌ترین روش کاهش رسوبات در مخزن سد سفیدرود در برنامه بهره‌برداری آتی مخزن سد، توصیه می‌گردد. این

#### منابع مورد استفاده

بصیرزاده ح، و صمدی بروجنی ح، ۱۳۸۲. امکان سنجی هدایت جریان‌های غلیظ مخزن سد دز به سمت مجاری سرریز با استفاده از شافت قائم مستغرق. ششمین کنفرانس بین المللی مهندسی عمران. دانشگاه صنعتی اصفهان.  
 ترابی پوده ح، امامقلی زاده ص و یونسی ح، ۱۳۸۷. تغییرات سرعت پیشانی جریان غلیظ در همگرایی‌ها و واگرایی‌ها و مقایسه آن با مقاطع ثابت. هفتمین کنفرانس هیدرولیک ایران. دانشگاه صنعت آب و برق تهران.  
 رمضانی ای، ۱۳۸۷. بررسی روند رسوبگذاری مخزن سد سفیدرود. پایان نامه کارشناسی ارشد. دانشکده مهندسی علوم آب دانشگاه شهید چمران اهواز.

محمد نژاد ب و شمسایی ا، ۱۳۸۲. مدل سازی رسوبگذاری مخازن سدها در اثر جریان چگالی. ششمین کنفرانس بین المللی مهندسی عمران. دانشگاه صنعتی اصفهان.  
 محمودیان شوشتاری م، قمشی م و کرم زاده ن، ۱۳۸۴. بررسی آزمایشگاهی کشش آب ساکن در جریان‌های غلیظ. پنجمین کنفرانس هیدرولیک ایران. دانشگاه باهنر کرمان.

- Akiyama J and Stefan H, 1985. Turbidity current with erosion and deposition. *Journal of Hydraulic Engineering-ASCE* 111(12): 6-16.
- An RD and Li J, 2010. Characteristic analysis of the plunging of turbidity currents. *Journal of Hydrodynamics* 22(2): 274-282.
- Fukushima Y, Parker G and Pantin HM, 1985. Self accelerating turbidity currents in over an erodible bed. *Journal of Hydraulic Research* 25(1): 123-147.
- Garcia MH, 1994. Depositional turbidity currents laden with poorly sorted sediment. *Journal of Hydraulic Engineering-ASCE* 120(11): 1240-1263.
- Georgoulas AN, Angelidis PB, Panagiotidis TG and Kotsovinos NE, 2010. 3D numerical modelling of turbidity currents. *Environmental Fluid Mechanics* 10(6): 603-635.
- Ghomeshi M, 1995. Reservoir sedimentation modelling. Ph.D. Thesis. University of Wollongong. Australia.
- Graf WH, 1971. Hydraulics of sediment transport. Mc Graw-Hill Book Company. New York. USA.
- Oehy CD and Schleiss AJ, 2007. Control of turbidity currents in reservoirs by solid and permeable obstacles. *Journal of Hydraulic Engineering-ASCE* 133(6): 637-648.
- Sequeiros OE, Cantero MI and Garcia MH, 2009. Sediment management by jets and turbidity currents with application to a reservoir for flood and pollution control in Chicago, Illinois. *Journal of Hydraulic Research* 47(3): 340-348.
- Wang ZY and Hu CH, 2009. Strategies for managing reservoir sedimentation. *International Journal of Sediment Research* 24(4): 369-384.